

Lista 09 - Pré-processamento e algoritmos de agrupamento

Disciplina: Inteligência Artificial

Profa.: Cristiane Neri Nobre

Data: 20/11/2025

Aluna: Alessandra Faria Rodrigues

Matrícula: 828333

Questão 1 - Etapas de pré-processamento

Código disponível em: <https://github.com/ale-faria/CC/tree/main/IA/Lista09>

1) Visualização da base de dados

Foi realizada a visualização das distribuições das variáveis Amount, Time e da classe alvo Class.

Interpretação: Como podemos ver, ao analisarmos percebemos um grande desbalanceamento na classe, existem 284.315 transações normais contra apenas 492 fraudes, que representa **99.83% vs 0.17%**. Esse desbalanceamento irá ser tratado posteriormente.

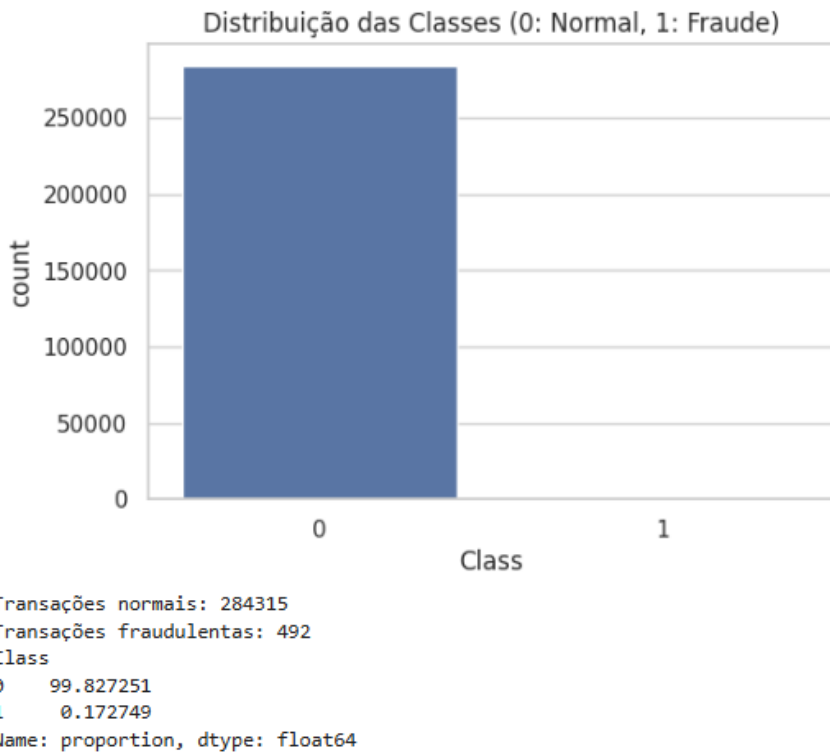


Figura 1: Gráfico de barras para visualização da classe “fraude” e “normal”

Interpretação: A maioria das transações tem valores baixos (perto de 0 no eixo X), mas existem algumas transações com valores muito altos que esticam o gráfico para a direita. A grande massa de dados são compras pequenas, e os valores altos são **Outliers** naturais que serão tratados posteriormente.

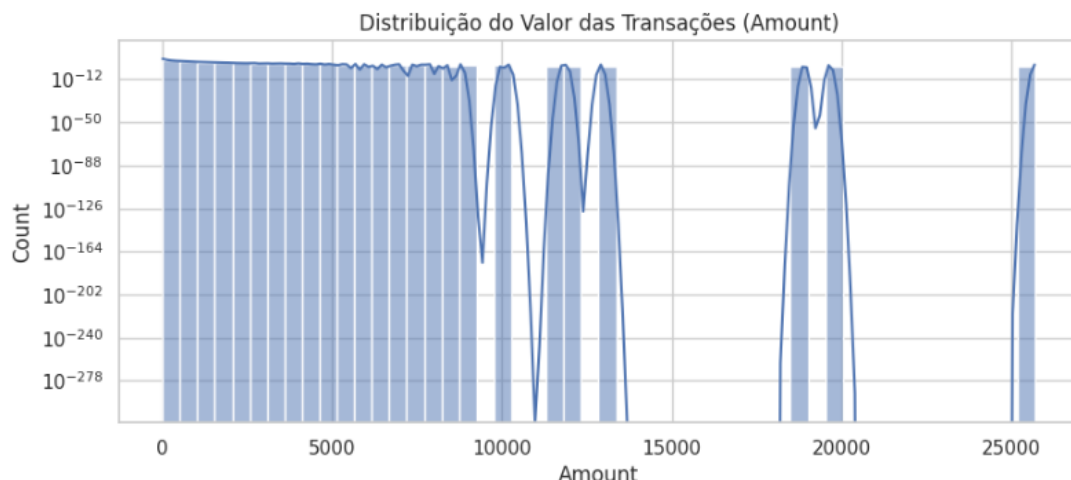


Figura 2: Gráfico para visualização da distribuição do valor das transações

Interpretação: O dataset original cobre um período de 48 horas (2 dias). As quedas no volume de transações provavelmente representam a madrugada/noite, quando as pessoas dormem e compram menos. Os picos representam o horário comercial/diurno.

Note que, embora o volume caia à noite, ele não zera. Em análises mais profundas, é comum investigar se a proporção de fraudes aumenta durante a madrugada (golpistas agindo enquanto as vítimas dormem), mesmo que o volume total seja menor.

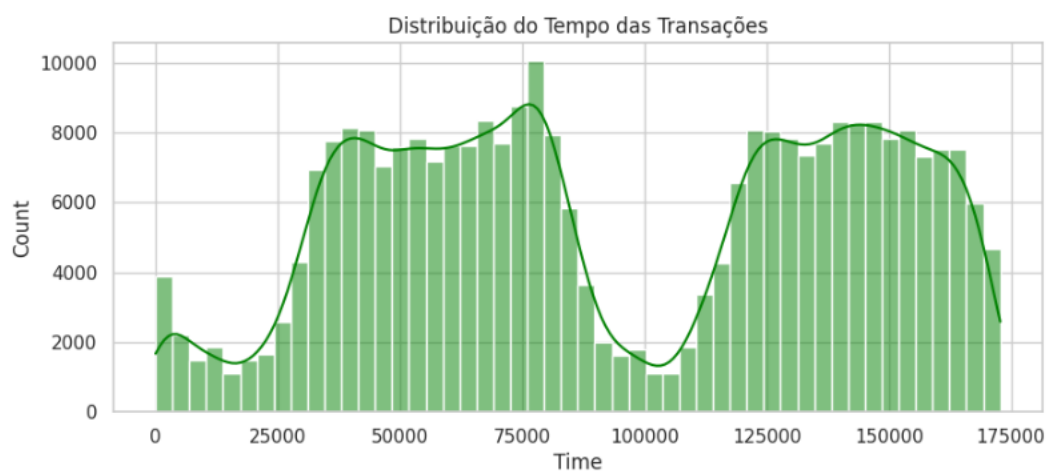


Figura 3: Gráfico bimodal para visualizar a distribuição dos tempos

2) Análise de correlação e multicolinearidade

Foi gerado um mapa de calor (heatmap) das correlações. Como as variáveis V1 a V28 são resultado de uma PCA (Análise de Componentes Principais), elas são ortogonais entre si, ou seja, a correlação entre elas é próxima de zero, eliminando problemas de multicolinearidade entre esses atributos. O foco deve ser na correlação dessas variáveis com a Class e com Amount.

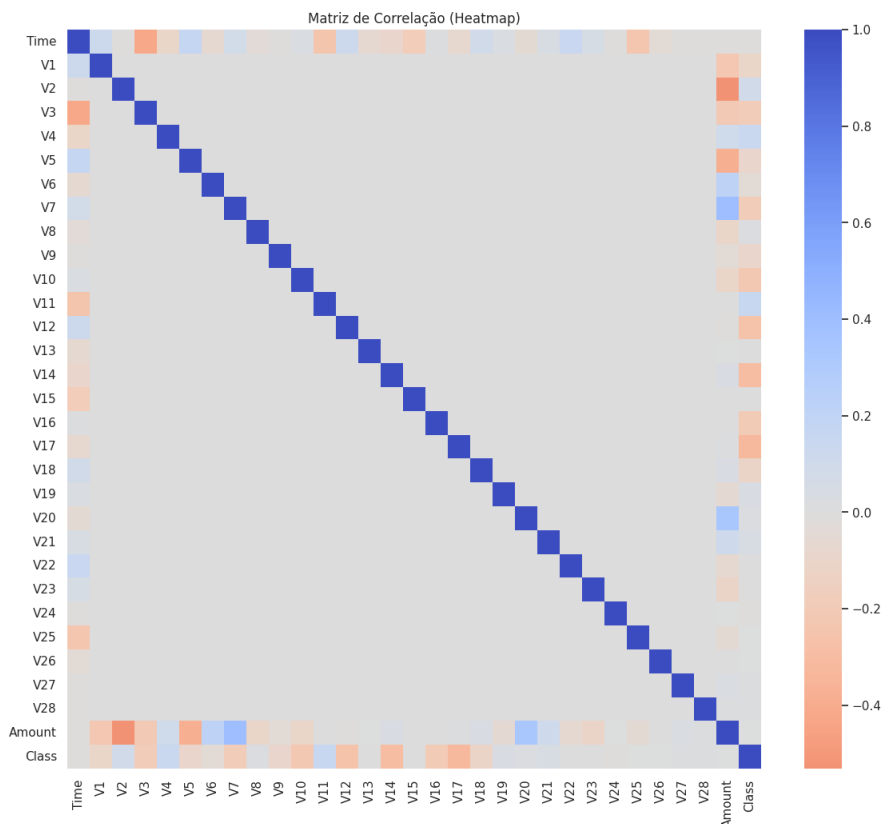


Figura 4: Mapa de calor para visualização das correlações

3) Detecção e eliminação de redundância e inconsistência

Foi utilizada a função `duplicated()` para identificar linhas idênticas. Na base foram encontradas 1081 linhas idênticas, a eliminação delas é essencial para evitar que o modelo aprenda padrões "viciados" ou dê peso excessivo a transações repetidas.

Dimensões atuais: (283726, 31)

4) Codificação de variáveis

A base creditcard.csv contém apenas variáveis numéricas (`float64`) e a classe (`int64`). Portanto, não foi necessário aplicar One-Hot Encoding ou Label Encoding, pois não existem variáveis categóricas nominais (como "Cidade" ou "Gênero") que precisem de transformação.

5) Detecção e tratamento de outliers

Foi utilizado o método do Intervalo Interquartil (IQR) focado na variável Amount. Calculamos o IQR e definimos limites ($1.5 * \text{IQR}$) para considerar um valor como

outlier. Foi decidido pela remoção dos registros que extrapolam esses limites na variável Amount.

Base após remoção de outliers em Amount: (252041, 31)

6) Divisão treino–teste (estratificada)

Foi utilizado `train_test_split` com `test_size=0.2` (20% para teste).

O parâmetro `stratify=y` foi fundamental. Como temos pouquíssimas fraudes, uma divisão aleatória simples poderia deixar o conjunto de teste sem nenhuma fraude ou com uma proporção muito diferente do treino. A estratificação garante que a proporção de fraudes (0.17%) seja mantida em ambos os conjuntos.

Tamanho Treino: (201632, 30), Tamanho Teste: (50409, 30)

7) Verificação e tratamento dos valores ausentes

Esta base não possui valores nulos. Mas para tratamento, aplicamos o `SimpleImputer` com a estratégia da mediana. O fit (cálculo da mediana) foi feito apenas no conjunto de treino e aplicado ao teste para evitar *data leakage* (vazamento de dados).

8) Normalização e/ou padronização

Diferente do `StandardScaler` (que remove a média e divide pelo desvio padrão), o `RobustScaler` usa a mediana e o intervalo interquartil. Ele é mais adequado para esta base porque a variável Amount contém muitos outliers extremos, que distorceriam a média e o desvio padrão se usássemos a padronização comum. Por isso foi usado o `RobustScaler` para esta base de dados.

9) Balanceamento da classe somente no treino

Utilizamos o SMOTE (Synthetic Minority Over-sampling Technique). O modelo original tenderia a prever "Não Fraude" para tudo, obtendo 99% de acurácia, mas errando todas as fraudes. O SMOTE cria exemplos sintéticos da classe minoritária (fraude) no conjunto de treino, equilibrando a contagem (50/50). Note que o balanceamento foi aplicado apenas no `X_train`, já o `X_test` permaneceu intocado e desbalanceado, pois o teste deve simular o mundo real (onde fraudes são raras) para uma avaliação honesta das métricas de precisão e recall.

Contagem de classes antes do SMOTE (Treino): `Counter({0: 201323, 1: 309})`

Contagem de classes após SMOTE (Treino): `Counter({0: 201323, 1: 201323})`

Questão 2 – Algoritmos de agrupamento

Metodologia de Agrupamento:

- Foi removida a coluna Class para garantir que o aprendizado fosse não-supervisionado.
- Devido ao alto custo computacional do DBSCAN e da métrica de Silhueta, utilizou-se uma amostragem aleatória dos dados.

1) K-Means:

- Hiperparâmetros: n_clusters=2 (conforme sugerido pela busca de "dois grupos").
- Resultado: O K-Means forçou a criação de dois grupos e a métrica de Silhueta indicará a qualidade. A baixa qualidade da separação (visível pela mistura de pontos) explica um valor de Silhouette Score baixo (próximo de 0.42). Isso prova que as fraudes não formam um grupo "isolado" e esférico simples de achar com K-Means.

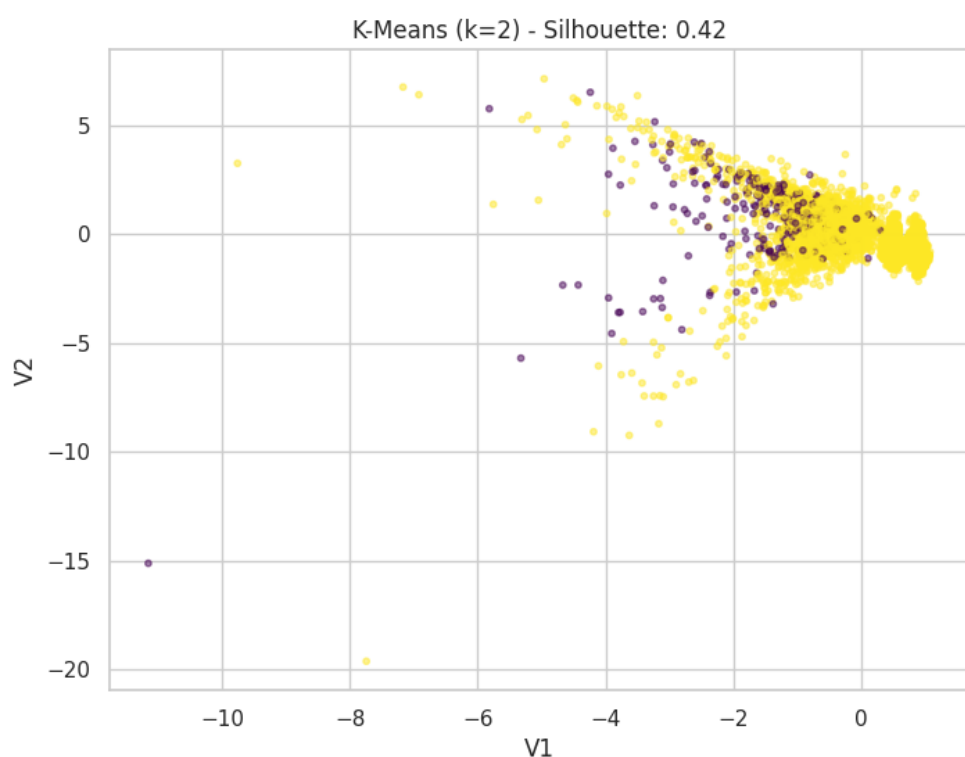


Figura 5: Gráfico gerado a partir do algoritmo K-Means

2) DBSCAN:

O DBSCAN frequentemente identifica a maior parte dos dados "Normais" como um único grande cluster e as fraudes como "Ruído" (outliers), ou pode não conseguir separar nada dependendo da densidade. É difícil obter exatamente "dois grupos" limpos com DBSCAN nesta base devido à sobreposição das classes no espaço de atributos.

- Resultados:

- Um grande aglomerado de uma única cor no centro que representa as transações "Normais" (a maioria).
- O Ruído (Outliers): Os pontos pretos dispersos ao redor são considerados anomalias. Em detecção de fraude, isso é bom pois fraudes comportam-se frequentemente como anomalias.
- Conclusão: Ao contrário do K-Means, o DBSCAN não força 2 grupos. Ele diz "aqui está o padrão normal" e "todo o resto é estranho". Visualmente, isso é mais útil para identificar fraude do que tentar dividir a base ao meio.

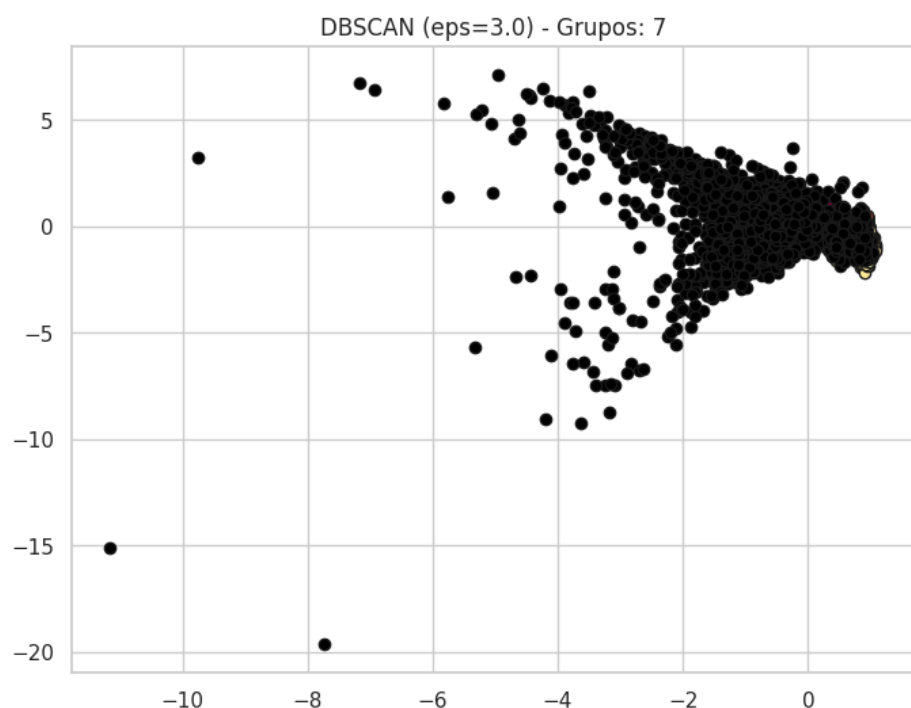


Figura 6: Gráfico gerado a partir do algoritmo DBSCAN

3) SOM:

O gráfico da *U-Matrix* (matriz de distâncias unificadas) mostra as "fronteiras" entre os grupos. Se houver barreiras claras (cores escuras separando áreas claras), existem grupos distintos.

A "U-Matrix" representa a distância entre os neurônios:

- Cores Claras (Vales): Representam neurônios próximos. Seus dados são muito parecidos (formam um cluster denso).
- Cores Escuras (Paredes): Representam grandes distâncias. São as "fronteiras" que separam os grupos.

O gráfico apresenta ausência de fronteiras claras, ou seja, o gráfico é predominantemente de uma cor e tem poucas "paredes" escuras contínuas, isso indica que os dados não têm limites claros, isso confirma a visão do DBSCAN que existe um grande maciço de dados normais e pouca distinção clara para formar grupos separados.

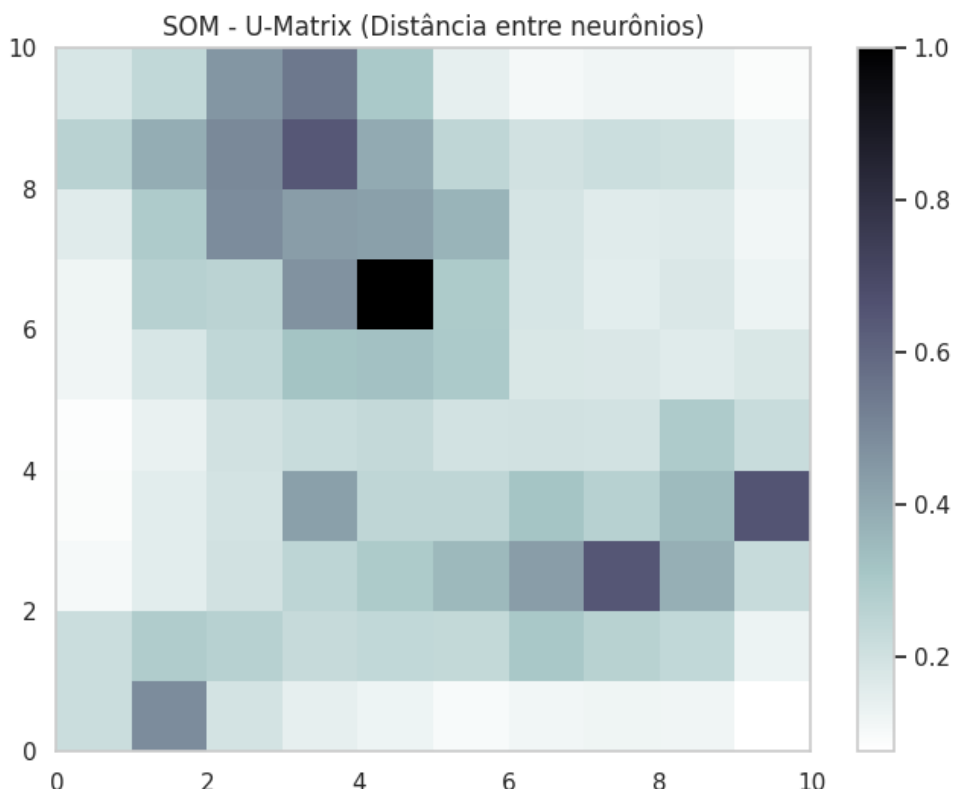


Figura 7: Gráfico U-Matrix gerado a partir do algoritmo SOM

Conclusão geral: A análise visual dos gráficos confirma a dificuldade do problema. O **K-Means** falha em separar as classes devido à sobreposição dos dados (baixa silhueta). O **DBSCAN** se mostra mais promissor conceitualmente ao tratar dados esparsos como ruído (potencial fraude), em vez de tentar criar um grupo coeso. O **SOM** corrobora a topologia complexa, mostrando que não há fronteiras simples (paredes escuras) isolando fraudes de transações normais.